Предложена методика определения энергии активации развития зернограничных пор в услови-

ях сверхпластичности. Показано,

что энергия активации развития

пор совпадает как с общей энерги-

ей активации деформации, так и с

энергией активации зерногранично-

го проскальзывания. Это свидетель-

ствует о том, что процесс развития

пористости находится во взаимос-

вязи с зернограничным проскальзы-

ванием и контролируется тем же

микромеханизмом, что и сверхпла-

стическое течение

УДК 539.217.1+539.214

TEPMO-**АКТИВАЦИОННЫЙ** АНАЛИЗ РАЗВИТИЯ **ЗЕРНОГРАНИЧНОЙ** пористости в УСЛОВИЯХ СВЕРХ-ПЛАСТИЧНОСТИ

В.В. Брюховецкий

Доктор физико-математических наук, заведующий отделом* Контактный тел.: (057) 700-41-11 e-mail: ie@kipt.kharkov.ua

Р.И. Кузнецова

Доктор физико-математических наук, профессор* e-mail: ie@kipt.kharkov.ua

А.В. Пойда

Кандидат физико-математических наук* e-mail: ie@kipt.kharkov.ua

В.П. Пойда

Доктор технических наук, профессор Харьковский национальный университет им.В.Н.Каразина пл. Свободы, 4, г. Харьков, Украина, 61077 e-mail: ie@kipt.kharkov.ua

В.Ф. Клепиков

Доктор физико-математических наук, профессор, директор* e-mail: ie@kipt.kharkov.ua

Ю.А. Касаткин

Доктор физико-математических наук, доцент* *Институт электрофизики и радиационных технологий ул. Чернышевского, 28, а/я 8812, г. Харьков, Украина, 61002 e-mail: ie@kipt.kharkov.ua

Каафарани Али Махмуд

Кандидат физико-математических наук, старший преподаватель Арабский университет ул. Тарик эль Жадиди, г.Бейрут, Ливан e-mail: ie@kipt.kharkov.ua

1.Введение

Как известно, сверхпластическая деформация практически всегда сопровождается порообразованием. В её ходе происходит зарождение пористости, ее рост, а также и залечивание [1-3]. Известно, что в условиях высокотемпературной ползучести залечивание зернограничных пор осуществляется диффузионными процессами [4]. В условиях же структурной сверхпластичности как рост, так и залечивание изолированных зернограничных пор, как было показано в [3], осуществляется в основном за счет зернограничного проскальзывания. Однако до сих пор остается слабо исследованной связь процесса роста и залечивания пор с температурно-силовыми и деформационными характеристиками в условиях сверхпластической деформации. В связи с этим весьма интересен анализ значений энергии активации развития зернограничной пористости в условиях сверхпластической деформации.

Следует отметить, что до настоящего времени прямой термоактивационный анализ процесса развития зернограничной пористости в условиях как структурной сверхпластичности, так и высокотемпературной, проведен не был. Поэтому в настоящем исследовании была разработана методика определения энергии активации развития зернограничной пористости в условиях сверхпластического течения. Проведена апробация разработанной методики на ряде материалов, ранее проявивших сверхпластичные свойства.

2. Методика

Скорость роста поры можно записать как:

$$\dot{\varepsilon}_{\rm PII} = A \exp\left(-\frac{Q_{\rm PII}}{RT}\right) , \qquad (1)$$

где А – некоторая константа, $Q_{\rm PH}$ – энергия активации роста поры, R – универсальная газовая постоянная, Т – абсолютная температура.

Из этого уравнения в случае постоянной приложенной нагрузки энергию активации роста поры можно определить как

$$Q_{\rm ph} = -R \partial \ln \dot{\epsilon}_{\rm ph} / \partial (1/T) . \tag{2}$$

Таким образом, экспериментальное определение энергии активации роста поры можно производить из

$$Q_{\text{PII}} = -R \ln \left(\frac{\dot{\varepsilon}_{\text{PII}}^1}{\dot{\varepsilon}_{\text{PII}}^2} \right) \frac{T_1 T_2}{T_1 - T_2} \quad , \tag{3}$$

где $\dot{\epsilon}_{\text{PII}}^{1}$ – скорость роста поры при температуре T_{1} , $\dot{\epsilon}_{\text{PH}}^2$ – скорость роста поры при температуре T_2 .

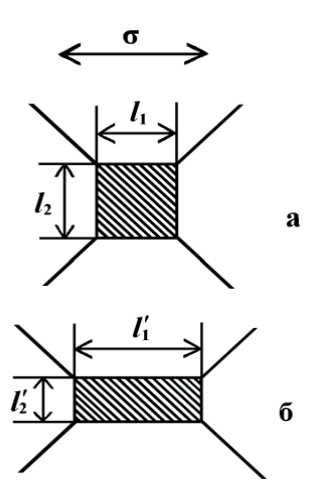


Рисунок 1. Схематическое изображение изолированной зернограничной поры на двух этапах ее развития.

.....

В соответствии с обозначениями, принятыми на рис. 1, скорость роста поры вдоль направления растяжения определяли как

$$\dot{\varepsilon}_{\rm P\Pi} = \frac{l_1' - l_1}{l_1 t} \quad , \tag{4}$$

где t - время осуществления дополнительного этапа деформации.

Таким образом, определив значения $\dot{\epsilon}^1_{\text{PII}}$ и $\dot{\epsilon}^2_{\text{PII}}$ и зная значения $T_{_1}$ и $T_{_2}$, находим величину $Q_{_{\mathrm{PII}}}$.

Скорость залечивания поры можно выразить следующим образом:

$$\dot{\varepsilon}_{3II} = A \exp\left(-\frac{Q_{3II}}{RT}\right) , \qquad (5)$$

где $Q_{\rm 3\Pi}~$ – энергия активации залечивания поры.

Энергию активации залечивания поры экспериментально можно определить из соотношения, аналогичного для роста поры,

$$Q_{3II} = -R \ln \left(\frac{\dot{\epsilon}_{3II}^{1}}{\dot{\epsilon}_{3II}^{2}} \right) \frac{T_{1}T_{2}}{T_{1} - T_{2}} , \qquad (6)$$

где $\dot{\epsilon}^1_{3\Pi}$ — скорость залечивания поры при температуре T_1 , $\dot{\epsilon}^2_{3\Pi}$ — скорость залечивания поры при температуре T_2 . В соответствии с рис. 1 скорость залечивания поры

определяется из соотношения:

$$\dot{\varepsilon}_{3II} = \frac{l_2 - l_2'}{l_2 t} \quad . \tag{7}$$

Определив значения $\dot{\epsilon}^1_{3\Pi}$ и $\dot{\epsilon}^2_{3\Pi}$ и зная значения T_1 и T₂ находим величину Q

3. Результаты экспериментальных исследований

Предложенная выше методика была применена для определения энергии активации развития пористости в электролитических фольгах меди и в модельном алюминиевом сплаве Al-4мас. %Си, условия проявления сверхпластичности которыми были определены ранее в работах [1,5].

Оценка термоактивационных параметров процессов, осуществляющихся в ходе деформации однокристальных по толщине фольг меди, была проведена в области температур T = 1173 ÷ 1273 К. При этом для возможности сравнения общей энергии активации деформации и значений энергий активации отдельных процессов, осуществляющихся в процессе самой деформации, те и другие измерения производили для σ = 1,5 МПа. Заметим, что такое напряжение течения является оптимальным для сверхпластической деформации фольг меди при Т = 1273 К [1].

Прежде всего, из наклона зависимости $\ln \dot{\epsilon} - 10^3 / T$ было получено значение энергии активации сверхпластической деформации фольг меди Q ≅ 117 кДж/моль.

Учитывая то, что главным деформационным процессом сверхпластической деформации изучаемых фольг меди является зернограничное проскальзывание [1] (вклад зернограничного проскальзывания в общую деформацию $\gamma_{3\Pi}$ в случае деформации образцов при σ = 1,5 МПа и T = 1273 К составляет ~60%), была определена энергия активации зернограничного проскальзывания. Скорость зернограничного проскальзывания $\dot{\epsilon}$ в общем виде можно записать так:

$$\dot{\varepsilon}_{3\Pi\Pi} = \text{Bexp}\left(-\frac{Q_{3\Pi\Pi}}{RT}\right) , \tag{8}$$

где $Q_{\mbox{\tiny 3\Pi\Pi}}$ – энергия активации зернограничного проскальзывания, B – константа.

За скорость зернограничного проскальзывания принимали отношение среднего относительного смещения рисок ко времени деформации. После того, как экспериментально была определена $\dot{\epsilon}_{\rm 3TII}$, из зависимости $\ln \dot{\epsilon}_{\rm 3TII} - 10^3$ / Т было найдено значение $Q_{\rm 3III} \cong 12$ - 4 кДж/моль. Полученный результат показывает, что энергия активации зернограничного проскальзывания близка к общей энергии активации сверхпластической деформации фольг меди. Это свидетельствует о том, что зернограничное проскальзывание контролируется тем же микромеханизмом, что и сверхпластическое течение.

Процесс сверхпластической деформации фольг меди осуществляется при наличии и с участием зернограничной пористости [1]. Если проследить развитие пор в динамике (рис. 2), то отчетливо видно, как в процессе деформации поры изменяют свои размеры, увеличиваясь в направлении растяжения и залечиваясь в направлении растяжения и залечиваясь в направлении, перпендикулярном оси растяжения. Были проведены измерения размеров 20 изолированных пор на двух этапах развития для каждой из температур, и для определения $\dot{\epsilon}_{\text{РП}}$ и $\dot{\epsilon}_{\text{ЗП}}$ все измерения l_1 , l'_1 , l_2 и l'_2 были усреднены. Затем из наклона зависимости $\ln \dot{\epsilon}_{\text{РП}} - 10^3$ / Т было получено значения энергии активации развития пор $Q_{\text{РП}} \cong 127$ кДж/моль. Для $Q_{\text{ЗП}}$ получено значение $\cong 123$ кДж/моль.

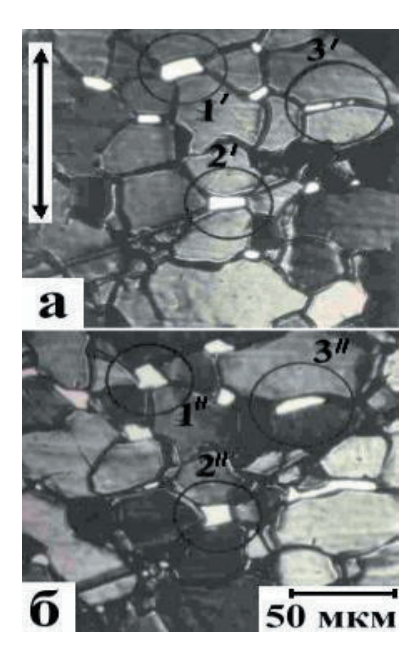


Рисунок 2. Микрофотографии одного и того же участка фольги меди на различных этапах деформации а) $\epsilon=5\%$, 6) $\epsilon=8\%$. (T = 1273 K).

Полученный результат показывает, что энергия активации развития изолированных пор близка как

к энергии активации зернограничного проскальзывания, так и к общей энергии активации сверхпластической деформации. Этот результат свидетельствует в пользу того, что процесс развития пористости находится во взаимосвязи с зернограничным проскальзыванием и контролируется тем же микромеханизмом, что и сверхпластическое течение. Анализируя полученные результаты, хотелось бы отметить то, что обычно энергия активации сверхпластической деформации, совпадает либо с энергией активации зернограничной диффузии, либо с энергией активации объемной диффузии [6]. При этом перемена значения энергии активации сверхпластической деформации происходит, как правило, в области температур $T = 0.75 \div 0.85 T_{\text{пл}}$. В данной работе эксперименты были проведены при высоких гомологических температурах $T = 0.85 \div 0.96~T_{\text{пл}}$. Изучение микроструктуры деформируемых пленок позволило обнаружить на начальных этапах раскрытия зернограничных пор зарождение структур, сходных с нитевидными волокнами в алюминиевых сплавах (см. пору 3' на рис. 2). Это может свидетельствовать об осуществлении локального плавления на границах зерен фольг меди в ходе их деформирования. Хотя процессы локального плавления фольг меди могли иметь место в проведенных экспериментах, однако существенного влияния на механизм сверхпластической деформации фольг они не оказывали. Поэтому полученные значения энергии активации близки к значению энергии активации зернограничной диффузии в меди [7,8]. Следует также отметить, что полученные значения энергии активации близки к значению энергии активации процесса межзеренного скольжения электролитической меди (134 кДж/ моль), полученному из опытов Ке [9].

Также для выяснения вопроса об энергии активации развития зернограничных пор были проведены исследования образцов сплава АІ-4мас. %Си. Сведения об условиях проявления сверхпластичности этим сплавом были получены ранее в работе [5]. Оптимальные условия проявления сверхпластичности сплавом АІ-4мас. %Си следующие: Т = 803 К, напряжение течения $\sigma = 5.5 \ \mathrm{M\Pi a}$, а удлинение до разрушения δ при этом составляет 220%. Температура Т = 803 К близка к температуре плавления сплава Al-4мас. «Cu и составляет 0,96 по отношению к равновесной температуре солидус и 0,98 по отношению к температуре эвтектики. Таким образом, локальное плавление на границах зерен за счет фазовых превращений в сплаве Al-мас.4%Си произойти не может, поскольку оптимальная температура его сверхпластической деформации составляет величину 0,98 от температуры эвтектики. Таким образом, сплав Al-мас.4%Си проявляет сверхпластичность хотя и при достаточно высоких гомологических температурах, однако находясь в твердом состоянии. Не исключена, однако, возможность локального плавления сплава Al-мас.4%Си за счет адиабатического разогрева.

На рис. 3 приведен вид деформационного рельефа образца сплава Al-мас.4%Сu, деформированного в оптимальных условиях проявления сверхпластичности на двух этапах развития деформации: а) после дополнительной деформации на 10% предварительно отполированного образца, уже деформированного на

92% (92+10%); б) после дополнительной деформации этого же образца ещё на 10% (102+10%).

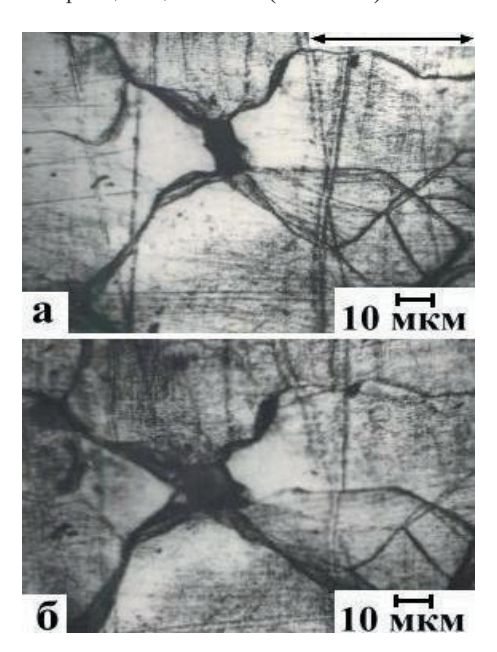


Рисунок 3. Микрофотографии одного и того же участка рабочей части образца сплава Al-4мас. %Си на различных этапах деформации: а) $\epsilon=92+10\%$; б) $\epsilon=102+10\%$. (T = 803 K)

Если проследить развитие поры, приведенной на рис. 3, в динамике, то отчетливо видно как в процессе деформации пора изменяет свои размеры, увеличиваясь в направлении растяжения и залечиваясь в направлении, перпендикулярном оси растяжения, в полной аналогии с деформационной моделью, предложенной в [1,2].

Термоактивационный анализ деформации сплава Al-мас.4%Си показал, что энергия активации его сверхпластической деформации составляет величину ~172 кДж/моль, что несколько выше энергии активации объемной диффузии в алюминии. Применение предложенной выше методики позволило установить, что для роста и для залечивания зернограничных пор энергия активации составляет величины ~164 и ~156 кДж/моль, соответственно. Эти величины близки к энергии активации объёмной самодиффузии в алюминии а также к общей энергии активации сверхпластической деформации сплава Al-4мас.%Си.

Применение методики определения вкладов различных видов деформации в развитие поры, разработанной нами ранее в [3], позволило установить, что и в рост и в залечивание поры основной вклад вносит зернограничное проскальзывание (~85%). Также известно [10], что основным дефоромационным механизмом сплава Al-4мас. «Си в условиях сверхпластического течения является зернограничное проскальзывание. Таким образом, учитывая все эти результаты, можно говорить, что развитие поры

осуществляется самим же деформационным процессом, а именно проскальзыванием зерен по границам при деформации.

4. Выводы

- 1. Разработана методика определения энергии активации развития зернограничной пористости в условиях сверхпластического течения.
- 2. Энергия активации развития пор совпадает как с общей энергией активации деформации, так и с энергией активации зернограничного проскальзывания. Это свидетельствует о том, что процесс развития пористости находится во взаимосвязи с зернограничным проскальзыванием и контролируется тем же микромеханизмом, что и сверхпластическое течение.

5. Литература

- 1. Кузнецова Р.И. Роль зернограничной пористости в сверх-пластичности // ФММ. 1978. Т. 45, Вып.3. С. 641-646.
- Mechanism of superplastic deformation of coarse–grained materials / R.I. Kuznetsova, N.N. Zhukov, O.A. Kaibyshev, R.Z. Valiev // Phys. Stat. Sol. –1982. V.70A, N2. P. 371-378.
- Механизмы развития зернограничных пор и локальная неоднородность деформации в условиях сверхпластического течения / Р.И.Кузнецова, В.В.Брюховецкий, В.П.Пойда, Т.Ф.Сухова // Металлофиз. новейшие технол. 1995. Т.17, №8. С. 64-72.
- 4. Пуарье Ж.-П. Ползучесть кристаллов. Механизмы деформации металлов, керамик и минералов при высоких температурах: Пер. с англ. М.: Мир, 1988. 287 с.
- Развитие пористости и разрушение при сверхпластическом течении сплава Al – 4 мас.% Cu / Р.И. Кузнецова, В.П. Пойда, Л.М. Летяго, С.А. Бахарев // ФММ. – 1982. – Т.54, Вып.6. – С. 1183-1187.
- 6. Кайбышев О.А. Сверхпластичность промышленных сплавов. М.: Металлургия, 1984. 264 с.
- Физические величины. Справочник. Под. ред. И.С.Григорьева, Е.З.Мейлихова. – М.: Энергоатомиздат, 1991. – 1232 с.
- 8. Бокштейн С.З. Строение и свойства металлических сплавов, М.: Металлургия. 1971. 496 с.
- 9. Механические свойства материалов при повышенных температурах. Сб. докладов. Под ред. Дж.Е.Дорна. Перевод с англ. М.: Металлургия. 1965. 295 с.
- Пойда В.П., Кузнецова Р.И., Шапран А.С. Роль зернограничного проскальзывания в пластической деформации пористых поликристаллов. Сверхпластичность // ВАНТ. Серия «Физика радиационных повреждений и радиационное материаловедение». 1985. Вып.3 (36). С. 47-50.